



СОВРЕМЕННАЯ СТОМАТОЛОГИЯ

3/2017

СОДЕРЖАНИЕ

ТЕРАПЕВТИЧЕСКАЯ СТОМАТОЛОГИЯ

Эстетические возможности композитного материала «Jen-Radiance» для художественной реставрации зубов фронтального участка

К.Л. Охотская

Порівняльна характеристика мікрогібридного композиту «Filtek z 250» та нанокомпозиту «Nano Paq»

Т.В. Щаслива, К.І. Павленко

Матрицы, клинья и матричные системы фирмы «Directa AB» (Швеция) при восстановлении полостей 2-го класса по Блэку

В.П. Салион

ЭНДОДОНТИЯ

Поняття успіху і невдачі в ендодонтичному лікуванні

Х.Т. Сидорак

ПАРОДОНТОЛОГИЯ

Современный взгляд на очищающие свойства зубных паст ТМ «LACALUT»

А.В. Борисенко, Л.Ф. Сидельникова, К.О. Мялковский

Закритий кюретаж пародонтальної кишені та нехірургічна пародонтальна терапія як основи базової терапії патології пародонту

В.І. Герелюк, Т.І. Матвійків, М.М. Ільків

Основні аспекти гіпоксично-метаболічного стану тканин порожнин рота при захворюваннях пародонту

А.В. Борисенко, Т.М. Кучмеровська, І.Г. Васильєва, О.С. Галанта, І.А. Воловик

Особливості комплексного лікування генералізованого пародонтиту у хворих з переважанням симпатичної нервової системи з використанням Тантум Верде®

А.В. Борисенко, В.М. Батіг, О.В. Іваніцька, А.Г. Дімітрова

ПРОФИЛАКТИЧЕСКАЯ И ДЕТСКАЯ СТОМАТОЛОГИЯ

Вивчення особливостей пігментованого зубного нальоту та профілактика його виникнення у школярів м. Києва

Н.Д. Горбач, С.М. Щирська, І.І. Якубова, О.В. Шеремет, Я.С. Кузьменко

ЧЕЛЮСТНО-ЛИЦЕВАЯ ХИРУРГИЯ И ХИРУРГИЧЕСКАЯ СТОМАТОЛОГИЯ

Оценка хирургических методов лечения амелобластомы

А.А. Тимофеев, Н.А. Ушко

CONTENTS

PREVENTIVE DENTISTRY

Aesthetic possibilities of the composite material «Jen-Radiance» for artistic restoration of the teeth of the frontal section

8

K. Okhotskaya

Comparative characteristics of the «Filtek z 250» microgribic composite and the nanocomposite «Nano Paq»

14

T. Shasliva, K. Pavlenko

Matrices, wedges and matrix systems Company «Directa AB» (Sweden) during the restoration cavities of the second class in Black

16

V. Salivon

ENDODONTICS

The concept of success and failure in endodontic treatment

H. Sidorak

PERIODONTOLOGY

Modern view of the cleaning properties of tooth paste TM LACALUT

24

A. Borysenko, L. Sidelnikova, K. Myalkovskii

Closed curettage of periodontal pockets and non-surgical periodontal therapy as a basis Basic therapy of periodontal pathology

28

V. Gerelyk, T. Matviyikiv, M. Ilkiv

Basic aspects of hypoxic- metabolic state of oral cavity tissues in periodontal diseases

32

A. Borysenko, T. Kuchmerovska, I. Vasilyeva, O. Galanta, I. Volovyk

The peculiarities of combined treatment of generalized periodontitis in patients with a predominance of sympathetic nervous system with using Tantum Verde®

36

A. Borysenko, V. Batih, O. Ivanitska, A. Dimitrova

CHILDREN'S AND PREVENTIVE DENTISTRY

The study of the features of pigmented plaque and its removal in children of Kyiv city

41

N. Gorbach, S. Shchirskaya, I. Yakubova, O. Sheremet, Y. Kusmenko

MAXILLOFACIAL SURGERY AND SURGICAL DENTISTRY

Assessment of surgical methods of treatment of ameloblastoma

O. Tymofieiev, N. Ushko

A.B. Борисенко¹, Т.М. Кучмеровська², І.Г. Васильєва³, О.С. Галанта³, І.А. Воловик¹

Основні аспекти гіпоксично-метаболічного стану тканин порожнини рота при захворюваннях пародонту

¹Національний медичний університет ім. О.О. Богомольця, м. Київ, Україна

²Інститут біохімії ім. О.В. Палладіна НАН України, м. Київ, Україна

³ДУ «Інститут нейрохірургії ім. А.П. Ромоданова НАМН України», м. Київ, Україна

Мета: вивчення стану біохімічних і молекулярно-генетичних показників ротової порожнини при запальних і дистрофічно-запальних захворюваннях пародонту в осіб молодого віку.

Методи. Спектрофотометричним методом визначено вміст лактату, пірувату, малонового діальдегіду та активність каталази. Рівень експресії генів HIF1α, VEGFA, Pgk1, SDHA, LDHA оцінювали методом Real-Time PCR.

Результати. Рівень МДА збільшувався, а активність каталази знижувалась: у I групі – в 1,8 і 1,3 разу; у II – у 2,4 й 1,5 разу; у III – у 2,8 та 1,6 разу відповідно (* $p < 0,05$). Рівень лактату зростав, а пірувату знижувався: у I групі – у 1,6 та 1,3 у разу; у II – у 2,3 й 1,4 разу; у III – у 2,5 та 1,8 разу відповідно ($p < 0,05$). Рівень експресії HIF1α підвищився в I групі на 33,2 %; у II – на 41,8 %, у III – на 47,3 % (* $p < 0,05$).

Висновок. Із прогресуванням захворювань пародонту посилюється інтенсифікація ПОЛ, знижується активність АОС, підвищується рівень гіпоксії та метаболічних порушень.

Ключові слова: гінгівіт, генералізований пародонтит, гіпоксія, метаболізм, молекулярна генетика, HIF1α, VEGFA.

При аналізі літературних джерел останніх років простежується підвищення уваги до вивчення закономірностей розвитку процесів вільнорадикального окислення (ВРО), перекисного окислення ліпідів (ПОЛ) і білків (ОМБ) у тканинах пародонту, а також їх ролі у формуванні таких патологічних станів, як запалення та гіпоксія [6, 7, 8, 10].

Як відомо, інтенсивність перекисного окислення залежить від стану фізіологічного антиоксидантного захисту. У нормальних умовах життєдіяльності клітин постійно відбуваються процеси перекисного окислення, рівень яких залишається постійним. Тобто саме фізіологічна АОС контролює збалансованість процесів прооксидантно-антиоксидантного гомеостазу. Вивчення активності основних антиоксидантних факторів (супероксиддисмутази, каталази, церулоплазміну, глутатіону та ін.) дозволило встановити динаміку їх змін при різних патологічних станах [7, 8, 10]. Як правило, на початкових стадіях запальних реакцій відбувається компенсаторно-пристосувальне підвищення рівня активності АОС, але в подальшому спостерігається стійке та тривале зниження величин цих маркерів, що демонструє виснаження систем антиоксидантного захисту.

Останніми роками у світі зростає науковий інтерес до дослідження глибинних механізмів захисно-пристосувальних реакцій при певних патологічних станах, зокрема запалення та гіпоксії. Таким чином, відповідно до динаміки їх прогресування, порушень прооксидантно-антиоксидантної рівноваги підвищується рівень АФК, які виступають одними з індукторів активації ядерних факторів транскрипції клітин, а саме NF-кВ, НІF, AP-1. Ці фактори, у свою чергу, теж індукують велику кількість генів білків з метою захисної функції клітини. Згідно з літературними джерелами, провідну роль відіграє киснево-чутливий протеїновий комплекс – гіпоксія-індуцибелльний фактор. HIF1α є основним транскрипційним регулятором генів, які відповідають за реакцію на нестачу кисню [14]. Цей маркер гіпоксії забезпечує швидку й адекватну відповідь шляхом залучення експресії генів, що покращують транспорт кисню (синтез еритропоетину), забезпечують необхідний рівень ангіогенезу (VEGF), контролюють відповідний вазомоторний стан

судин (НО-сінтаза), регулюють динаміку змін енергетично-метаболічні шляхів (альдолаза, фосфофруктокіназа) та багато інших функцій [11, 13, 16].

З розвитком і посиленням явищ запалення, вільнорадикального окислення та дисфункції ендотелію у тканинах відбувається зміна функціональної активності клітин, а згодом і структурної. Адже стан метаболічних та енергетичних процесів відіграє важливу роль у життедіяльності клітин. Характер взаємовідношень між анаеробними та енергетично вигідними аеробними шляхами біохімічних реакцій обумовлений станом кисневого забезпечення [17]. Але в результаті зазначених вище патологічних процесів у тканинах пародонту розвивається місцева гіпоксія. Вона характеризується порушенням окисно-відновних реакцій, пригніченням активності та синтезу ферментів дихального ланцюга й циклу Кребса, дефіцитом специфічних субстратних компонентів, дефіцитом макроергічних сполук, виснаженням енергетичних резервів у результаті роз'єдання процесів окислення та фосфорилювання й дезінтеграцією структур мітохондрій [1]. Паралельно у клітинах активуються неферментний протеоліз і ліпопліз із накопиченням таких речовин, як азот, аміак та ацетон, ацетоочотова кислота відповідно. Порушується кислотно-лужне середовище та розвивається ацидоз. Компенсаторно відбувається інтенсифікація реакції гліколізу, що призводить до підвищення внутрішньоклітинного вмісту лактату. Із прогресуванням цих патологічних змін клітини переходят на катаболічний характер метаболізму, що може привести до їх повного руйнування.

Виходячи з цього, **метою** нашої роботи було вивчення стану біохімічних і молекулярно-генетичних показників ротової порожнини при запальних і дистрофічно-запальних захворюваннях пародонту в осіб молодого віку.

Матеріали та методи дослідження

Проведено комплексне клінічно-лабораторне обстеження 90 пацієнтів віком від 18 до 30-ти років. Діагноз захворювань пародонту встановлювали у відповідності із класифікацією М.Ф. Данилевського (1994) [4]. Розподіл пацієнтів за діагнозом: 25 хворих із хронічним катаральним гінгівітом (I група), 30 – з генералізованим пародонтитом

початкового ступеня хронічного перебігу (ІІ група), 24 – з генералізованим пародонтитом І ступеня хронічного перебігу (ІІІ група). Групу порівняння (ІV група) склали 11 осіб такого самого віку без соматичної патології та захворювань пародонту.

Об'єкт біохімічних досліджень – ротова рідина. Забір матеріалу проводили у хворих уранці, натщесерце, без ранкової гігієни ротової порожнини. Ротову рідину використовували для приготування кислотогорзинних екстрактів (0,6Н HClO₄), позбавлених протеїнів, в яких спектрофотометрично, згідно з іх оптичною густиноро, при довжині хвилі 340 нм визначали вміст лактату та пірувату. Метод ґрунтуються на здатності цих метаболітів, за участі лактатдегідрогенази (КФ. 1.1.1.27), перетворюватися зворотно [12]. Вміст ТБК-активних продуктів визначали спектрофотометрично за їх реакцією з тіобарбітуровою кислотою. При цьому утворюється комплекс червоного кольору з максимумом поглинання при 532 нм [2, 9]. Активність каталази (КФ 1.11.1.6) визначали спектрофотометрично згідно з методом, який базується на здатності гідрогенпроксиду утворювати із солями молібдену стійкий забарвлений комплекс [3, 5]. Для проведення досліджень був використаний спектрофотометр «BioTech uQuant» (BioTek Instruments, Inc. США).

Об'єкт молекулярно-генетичних досліджень – фрагмент слизової оболонки ясен. Відносний рівень мРНК генів HIF1 α , VEGFA, Pgk1, SDHA, LDHA у зразках оцінювали за допомогою методу полімеразної ланцюгової реакції зі зворотною транскрипцією в режимі реального часу (3Т-ПЛР). В якості референтного гена використаний GUSB. Для оцінки відтворюваності значень порогового циклу всі зразки ампліфікувались три рази. Специфічні пари праймерів і набори для аналізу досліджуваних генів виготовлені фірмою «Applied Biosystems» (США). Для визначення рівня експресії використовували ампліфікатор «CFX 96 Real-Time PCR Detection System» (Bio Rad, USA) [15].

Статистичний аналіз отриманих даних проводили за допомогою персонального комп'ютера із застосуванням комп'ютерних програм StatSoft Statistica 10, Microsoft Excel 2010. Для вибірок оцінювалась відповідність емпіричних розподілів нормальному закону (розподілення Гаусса) за критеріями Колмогорова-Смирнова та Шапіро-Улка, відмінності між вибірками оцінювали за критерієм Манна-Уйтні та Крускала-Уоліса.

Результати дослідження та їх обговорення

Результати досліджень демонструють різний характер змін і певні особливості біохімічних і молекулярно-генетичних маркерів при різних захворюваннях пародонту.

На гістограмі (рис. 1) наведені дані про концентрацію МДА та активність каталази у хворих по групах. МДА є одним з інтегральних показників перекисного окислення ліпідів, концентрація якого вважається досить чутливим маркером визначення оксидативного стресу. Його рівень є показником інтенсивності запальних процесів у тканинах пародонту. Установлено статистично достовірне збільшення концентрації МДА у хворих І, ІІ та ІІІ груп порівняно із групою IV ($*p < 0,05$). Таким чином, у хворих І групи рівень МДА збільшився у 1,8 разу; ІІ – у 2,4 разу, ІІІ – у 2,8 разу. Отримані дані демонструють, що між першою та другою групами трохи більша відмінність результатів, ніж між другою та третьою ($#p_1 < 0,05$). Це дозволяє казати про процеси майже поступової інтенсифікації ПОЛ і дестабілізації клітинних мембрани у міру поглиблення запальних і дистрофічно-запальних процесів у тканинах пародонту.

Одним з основних маркерів АОС уважається каталаза, рівень активності якої досить достовірно відображає стан антиоксидантного захисту. Установлено статистично

достовірне зниження активності каталази у хворих І, ІІ та ІІІ груп порівняно із групою IV ($*p < 0,05$). Таким чином, у хворих І групи вона зменшилась в 1,3 разу; ІІ – у 1,5 разу, ІІІ – у 1,6 разу. Отримані дані значень активності каталази демонструють аналогічну, але зворотну динаміку процесів, ніж рівень МДА. Тобто між першою та другою групами трохи більша відмінність результатів, ніж між другою та третьою ($#p_1 < 0,05$).

На гістограмі (рис. 2) наведені дані про антиоксидантно-прооксидантний індекс АПІ у хворих по групах. Що стосується індексу АПІ, то у хворих І групи він зменшився у 2,3 разу порівняно із групою IV; у ІІ – у 3,3 разу, у ІІІ – у 4,6 разу ($*p < 0,05$). Отже, отримані результати інтенсивності ПОЛ, активності АОС та індексу АПІ дозволяють казати про більш вагоме напруження та дисбаланс у прооксидантно-антиоксидантних системах між хворими на гінгівіт і генералізований пародонтит початкового ступеня, ніж між хворими на генералізований пародонтит початкового й І ступеня.

На гістограмі (рис. 3) наведені дані про характер змін відсоткових взаємовідносин між рівнем експресії генів HIF1 α та VEGF у хворих по групах. Установлено статистично достовірне збільшення відсоткового вмісту HIF1 α у хворих І, ІІ та ІІІ груп порівняно із групою IV ($*p < 0,05$). У хворих І групи він збільшився на 33,2%; ІІ – на 41,8%, ІІІ – на 47,3%. Між першою та другою групами відмінність результатів становить 8,6%, а між другою та третьою – 5,5% ($#p_1 < 0,05$). Динаміка змін VEGF має аналогічну тенденцію, але протилежну спрямованість. Данных цих обстежень дають підставу припускати, що в результаті порушення динамічної рівноваги між ПОС та АОС у сторону превалювання першої відбувається накопичення токсичних недоокислених продуктів ПОЛ і підвищення рівня АФК. Ці хімічні агенти можуть виступати як індуктори активації експресії транскрипційного фактора HIF1 α та VEGF в умовах запалення й гіпоксії.

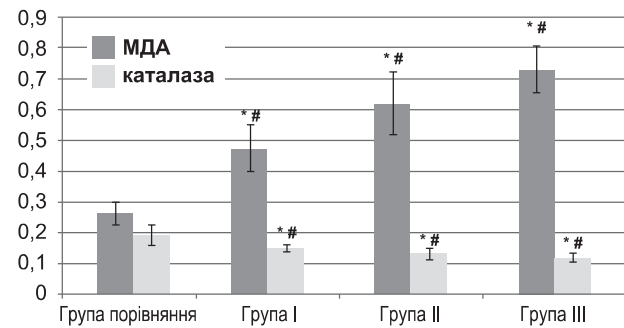


Рис. 1. Динаміка змін концентрації МДА (мкмоль/л) та активності каталази (мккат/л) у хворих на хронічний катаральний гінгівіт і генералізований пародонтит (М±σ).
Примітки: * p – показник вірогідності відмінностей порівняно із групою порівняння; # p_1 – показник вірогідності відмінностей між групами.

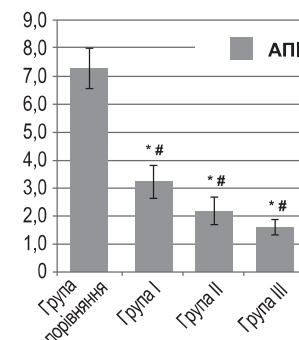


Рис. 2. Рівень антиоксидантно-прооксидантного індексу АПІ у хворих на хронічний катаральний гінгівіт і генералізований пародонтит (М±σ).
Примітки: * p – показник вірогідності відмінностей порівняно із групою порівняння; # p_1 – показник вірогідності відмінностей між групами.

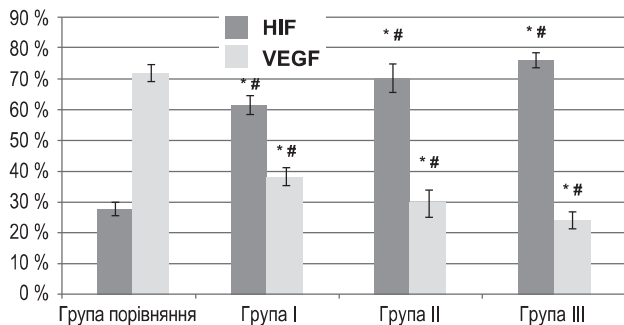


Рис. 3. Особливості змін відсоткових взаємовідносин між рівнем експресії генів HIF1 α та VEGF у хворих на хронічний катаральний гінгівіт і генералізований пародонтит ($M \pm \sigma$).
Примітки: *р – показник вірогідності відмінностей порівняно із групою порівняння; #р₁ – показник вірогідності відмінностей між групами.

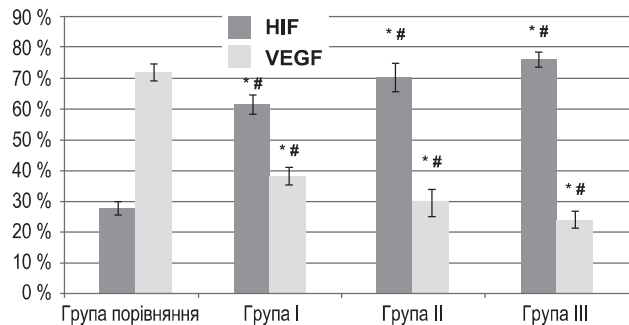


Рис. 4. Особливості змін відсоткових взаємовідносин між різними шляхами клітинного метаболізму у хворих на хронічний катаральний гінгівіт і генералізований пародонтит ($M \pm \sigma$).
Примітки: *р – показник вірогідності відмінностей порівняно із групою порівняння; #р₁ – показник вірогідності відмінностей між групами.

Показники метаболічних маркерів ротової рідини, лактату й пірувату у хворих на хронічний катаральний гінгівіт і генералізований пародонтит ($M \pm \sigma$).

Група обстеження	кількість, п	Лактат, ммоль/мл	Піруват, ммоль/мл	п/л індекс
Порівняння	11	0,320±0,068	0,030±0,006	0,094±0,004
Група I	25	0,495±0,044 р* < 0,05, р# < 0,05	0,024±0,002 р* < 0,05, р# < 0,05	0,048±0,002 р* < 0,05, р# < 0,05
Група II	30	0,715±0,075 р* < 0,05, р# < 0,05	0,022±0,002 р < 0,05, р1 < 0,05	0,030±0,001 р* < 0,05, р# < 0,05
Група III	24	0,800±0,079 р* < 0,05, р# < 0,05	0,017±0,002 р* < 0,05, р# < 0,05	0,021±0,001 р* < 0,05, р# < 0,05

Примітки: *р – показник вірогідності відмінностей порівняно із групою порівняння; #р₁ – показник вірогідності відмінностей між групами.

На гістограмі (рис. 4) наведені дані про характер змін відсоткових взаємовідносин між різними шляхами клітинного метаболізму у хворих по групах. Отже, установлено статистично достовірне збільшення відсоткового вмісту ферменту лактатдегідрогенази порівняно з ферментами фосфогліцераткіназою та сукцинатдегідрогеназою у хворих I, II та III груп порівняно з IV групою (*р < 0,05). У хворих I групи він переважав на 19,2%; у II – на 40,7%, у III – на 43%. Між першою та другою групами відмінність результатів становить 21,5%, а між другою та третьою лише 2,3% (#р₁ < 0,05). Отримані результати демонструють досить значні порушення основних шляхів метаболізму клітин у хворих на генералізований пародонтит у порівнянні із хворими на хронічний катаральний гінгівіт.

У табл. наведені дані про показники метаболічних маркерів ротової рідини, лактату й пірувату у хворих по групах. Установлено статистично достовірне збільшення вмісту лактату і зниження пірувату у хворих I, II та III груп порівняно із групою IV (р < 0,05). У хворих I групи кількість лактату підвищилася в 1,6 разу, а пірувату зменшилась в 1,3 разу; у II лактату – у 2,3 разу й пірувату у 1,4 разу відповідно, а у III – у 2,5 та 1,8 разу відповідно. Отримані дані демонструють, що в першій і другій групах кількість лактату збільшується більш значущо, ніж у другій і третій групах, тоді як кількість пірувату зменшується більш значущо у другій і третій групах, ніж у першій і другій (р₁ < 0,05). Отже, кількість молочної кислоти в ротовій рідині обстежених хворих із прогресуванням захворювання мала тенденцію до поступового нарощання на відміну від піровиноградної кислоти, кількість якої поступово знижувалась. Ці зміни ілюструють досить складні механізми перебудови та адаптації тканин на глибокому молекулярно-генетичному рівні клітини.

Таким чином, запальні процеси, порушення мікроциркуляції з мобілізацією великої кількості біологічно-

активних речовин, розвиток місцевої гіпоксії, підвищення рівня ВРО та ПОЛ, зниження активності антиоксидантної ланки захисту, накопичення проміжних метаболітів, АФК й токсичних речовин призводять до погіршення трофіки клітин і зміни їх функціональної активності. Це підтверджується й певними особливостями змін маркерів гіпоксії, ПОЛ, АОС, а також окисно-відновних і метаболічно-снергетичних процесів при різних формах захворювань пародонту.

Висновки

- Установлено тенденцію до підвищення рівня малонового діальдегіду в ротовій рідині, що вказує на підвищення інтенсивності вільнопардикального та перекисного окислення ліпідів при прогресуванні захворювань пародонту. Паралельно з цим відмічається зниження активності каталази як одного з маркерів антиоксидантної системи. Тобто спостерігається поступове виснаження систем антиоксидантного захисту. Значне зниження індексу АПІ підтверджує нарощання дисбалансу між ПОС та АОС у динаміці.
- Вивчені особливості прояву гіпоксичного стану у тканинах пародонту шляхом визначення основних маркерів гіпоксії HIF1 α та VEGF. Установлено, що при прогресуванні захворювань пародонту експресія гену HIF1 α має тенденцію до значного переважання над VEGF. Відсотковий вміст HIF1 α у хворих на гінгівіт, генералізований пародонтит початкового та I ступеня збільшується на 33,2, 41,8 та 47,3 % відповідно.
- Установлено, що особливості метаболічних змін мають досить складний характер і супроводжуються значним переважанням долі анаеробного окислення при прогресуванні захворювань пародонту. Це підтверджується відповідними змінами метаболічних маркерів – PGK, SDHA, LDHA, лактату й пірувату.

ЛІТЕРАТУРА

1. Белоціцька Г.Ф. Клініко-патогенетическе обосноване дифференцовані фармакотерапії генералізованого пародонтита: Автореф. дис. ... д-ра мед. наук Белоціцької Г.Ф. – Одеса, 1996. – С. 126–140.
2. Гаврилов В.Б., Гаврилова А.П., Мажул Л.М. Аналіз методів определення продуктів перекисного окислення ліпідів в сироватці крові по тесту з тиобарбитуровою кислотою // Вопр. мед. хімії. – 1987. – № 1. – С. 118–122.
3. Гірин С.В. Модифікація метода определення активності каталази в біологіческих субстратах // Лаб. діагностика. – 1999. – № 4. – С. 45–46.
4. Данилевський Н.Ф. Систематика болезней пародонта // Вісник стоматології. – 1994. – № 1. – С. 17–21.
5. Королюк М.А., Іванова Л.І., Майорова І.Г. Метод определения активности каталазы // Лаб. дело. – 1988. – № 1. – С. 44–67.
6. Островський А.В. Біохіміческі показателі ротової жidкості у больних хронічним катарапальним гінгівітитом і генералізованым пародонтитом начальної-І стадії // Вісник проблем біології та медицини. – 2014. – Вип. 2, том 2. – С. 56–58.
7. Рожко О.П., Деньга О.В., Левицький А.П. Біохімічні показники ротової рідини в дітей з дифузним нетоксичним зобом у процесі профілактики основних стоматологічних захворювань // Вісник стоматології. – 2015. – № 1. – С. 88–91.
8. Семенюк Г.Д., Мельничук Г.М., Ерстенюк Г.М. Стан інтенсивності окислювальної модифікації білків та активності антиоксидантних ферментів у ротовій рідині хворих на генералізований пародонтит // Архів клінічної медицини. – 2013. – № 2. – С. 68–71.
9. Стальна И.Д., Гарышвили Т.Г. Современные методы в биохимии. – М.: Медицина. – 1977. – С. 66–68.
10. Шварцнау Е.Г. Динамика биохимических показателей ротовой жидкости после лечебно-профилактических мероприятий у студентов с основными стоматологическими заболеваниями // Современная стоматология. – 2015. – № 5. – С. 22–25.
11. Artese L., Piattelli A., de Gouveia Cardoso L.A., Ferrari D.S., Onuma T., Piccirilli M., Faveri M., Perrotti V., Simion M., Shibli J.A. Immunoexpression of angiogenesis, nitric oxide synthase, and proliferation markers in gingival samples of patients with aggressive and chronic periodontitis // Journal of Periodontology. – 2010. – V. 81, № 5. – P. 718–726.
12. Bergmeyer H.U. Methods of Enzymatic Analysis / Bergmeyer H.U. (Ed.). – New York: Academic Press Inc. – 1963. – P. 1064.
13. Greijer A.E., Vanderwall L.E. The role of hypoxia inducible factor 1 (HIF-1) in hypoxia induced apoptosis // J. Clin. Pathol. – 2007. – V. 57. – P. 1009–1014.
14. Huang L.E., Bunn H.F. Hypoxia-inducible factor and its biomedical relevance // J. Biol. Chem. – 2003. – V. 278. – P. 19575–19578.
15. Livak K.J., Schmittgen T.D. Analysis of relative gene expression data using real-time quantitative PCR and the 2- $\Delta\Delta C_t$ method. – Methods. – 2001. – V. 25. – P. 402–408.
16. Pugh C.W., Ratcliffe P.J. Regulation of angiogenesis by hypoxia: role of the HIF system // Nat. Med. – 2003. – V. 9. – P. 677–684.
17. Semenza G.L. Life with oxygen // Science. – 2007. – V. 318. – P. 62–64.

Основные аспекты гипоксически-метаболического состояния тканей полости рта при заболеваниях пародонта

A.B. Борисенко, Т.М. Кучмеровская, И.Г. Васильева, Е.С. Галанта, И.А. Воловик

Цель: изучить состояние биохимических и молекулярно-генетических показателей ротовой полости при воспалительных и дистрофически-воспалительных заболеваниях пародонта у лиц молодого возраста.

Методы. Спектрофотометрическим методом определены содержание лактата, пирувата, малонового диальдегида и активность каталазы. Уровень экспрессии генов HIF1a, VEGFA, Pgk1, SDHA, LDHA оценивали методом Real-Time PCR.

Результаты. Уровень МДА повышался, а активность каталазы снижалась: в I группе – в 1,8 и 1,3 раза; во II – в 2,4 и 1,5 раза; в III – в 2,8 и 1,6 раза соответственно (* $p < 0,05$). Уровень лактата повышался, а пирувата снижался: в I группе – в 1,6 и 1,3 раза; во II группе – в 2,3 и 1,4 раза; в III – в 2,5 и 1,8 раза соответственно ($p < 0,05$). Уровень экспрессии HIF1a возрос в I группе на 33,2%; во II – на 41,8%, в III – на 47,3% (* $p < 0,05$).

Вывод. По мере прогрессирования заболеваний пародонта усиливается интенсификация ПОЛ, снижается активность АОС, повышается уровень гипоксии и метаболических нарушений.

Ключевые слова: гингивит, генерализованный пародонтит, гипоксия, метаболизм, молекулярная генетика, HIF1a, VEGFA.

Basic aspects of hypoxic- metabolic state of oral cavity tissues in periodontal diseases

A. Borysenko, T. Kuchmerovska, I. Vasiliyeva, O. Galanta, I. Volovyk

Aim: to study the state of biochemical and molecular-genetic parameters of the oral cavity in inflammatory and dystrophic-inflammatory diseases of periodontal disease in young people.

Methods. Spectrophotometric method determines the substance content of lactate, pyruvate, malonic dialdehyde, catalase activity. The level of expression of HIF1a, VEGFA, Pgk1, SDHA, LDHA genes was evaluated using Real-Time PCR.

Results. The level of malonic dialdehyde increased, and the catalase activity decreased: in I group – in 1,8 and 1,3 times; in II – in 2,4 and 1,5 times; in III – in 2,8 and 1,6 times respectively (* $p < 0,05$). The level of lactate increased, and the pyruvate decreased: in I group in 1,6 and 1,3 times; in II – in 2,3 and 1,4 times; in III – in 2,5 and 1,8 times respectively ($p < 0,05$). The level of expression of HIF1a increased in group I by 33,2%; in II – by 41,8%, in III – by 47,3% (* $p < 0,05$).

Conclusion. With the progression of periodontal diseases, intensification of LPO increased, activity of AOS decreased, the level of hypoxia and metabolic disorders increased.

Key words: gingivitis, generalized periodontitis, hypoxia, metabolism, molecular genetics, HIF1a, VEGFA.

Борисенко Анатолий Васильевич – д-р мед. наук, профессор, заведующий кафедрой терапевтической стоматологии Национального медицинского университета им. А.А. Богомольца.

Адрес: ул. Зоологическая, 1, г. Киев, Украина, 03057. **Тел.:** +38(050)447-38-00. **E-mail:** tc@nmu.kiev.ua.

Воловик Ирина Анатольевна – аспирант кафедры терапевтической стоматологии Национального медицинского университета им. А.А. Богомольца.

Адрес: ул. Зоологическая, 1, г. Киев, Украина, 03057. **E-mail:** tc@nmu.kiev.ua.

Кучмеровская Тамара Муратовна – д-р биол. наук, профессор, ведущий научный сотрудник Института биохимии им. А.В. Палладина. **Адрес:** ул. Леонтьевича, 9, г. Киев, Украина, 01601.

Васильева Ирина Георгиевна – канд. биол. наук, ведущий научный сотрудник, начальник отдела нейробиохимии Института нейрохирургии им. А.П. Ромоданова НАМН Украины.

Адрес: ул. Платона Майбороды, 32, г. Киев, Украина, 04050. **E-mail:** vigvasileva@gmail.com.

Галанта Елена Степановна – научный сотрудник отдела нейробиохимии Института нейрохирургии им. А.П. Ромоданова НАМН Украины.

Адрес: ул. Платона Майбороды, 32, г. Киев, Украина, 04050. **E-mail:** lenagalanta@gmail.com.